

Projeto e Desenvolvimento de Sistemas Dedicados Multiprocessados

Rodolfo Azevedo, Sandro Rigo, Guido Araújo

Abstract

The old design model where a single processor provided all the functionalities on an embedded system is not suitable anymore. A cell phone is a typical system that requires heterogenous multiple processors to support all its resources. With the advent of multiprocessor systems, software engineers are facing new requirements to reach a high performance, mainly related to parallelism exploration. High complexity and stringent time-to-market constraints obligate designers to develop hardware and software simultaneously. In order to achieve that, an executable model of the whole system becomes essential even at the beginning of the design process. This chapter discusses several issues on embedded systems design, related both to hardware and software, focusing on the development of a simulation model for a multiprocessor system.

Resumo

O antigo modelo de projeto no qual um único processador era capaz de suprir todas as funcionalidades de um sistema dedicado já não é mais suficiente. Um exemplo de sistema que requer uma nova abordagem é um aparelho celular, que pode ter múltiplos processadores, inclusive de categorias diferentes. O surgimento de sistemas multiprocessados trouxe novos requisitos de software, principalmente relacionados à exploração de paralelismo, para que o desempenho necessário seja atingido. Com o aumento da complexidade do sistema e a pressão para lançamento no mercado, torna-se necessário o desenvolvimento simultâneo de hardware e software. Para isso, é necessário desenvolver um protótipo funcional para realizar experimentos e testar a execução do software nas fases iniciais de projeto. Este capítulo aborda questões gerais sobre como construir um sistema dedicado, tanto do ponto de vista de hardware como de software, focando num exemplo prático de um simulador de um sistema multiprocessado.

7.1. Introdução

Com o aumento na densidade de circuitos integrados e sua popularização nos mais diversos dispositivos dedicados, a tarefa de desenvolver um sistema complexo como um celular, PDA, tocador de DVD ou um console de videogame torna-se cada vez mais dependente da infraestrutura de simulação que é utilizada no início do ciclo de desenvolvimento. Questões críticas relacionadas

com *time-to-market* exigem a redução do tempo de prototipagem e o início do desenvolvimento do software o mais cedo possível. Quanto mais baixo é o nível de abstração do software desenvolvido, mais dependente ele é do hardware e, para garantir um modelo eficaz de desenvolvimento simultâneo, é necessário ter um simulador do sistema completo disponível.

Considerando o projeto de novos processadores, pode ser visto que, devido à grande variabilidade de aplicações, cada vez mais arquiteturas especializadas vêm sendo propostas, tornando evidente a necessidade de modelos flexíveis para simulação, possibilitando ao projetista a adaptação do conjunto de instruções de um processador a uma dada aplicação. Linguagens de Descrição de Arquiteturas (ADLs) foram introduzidas para ajudar os projetistas a vencer esses desafios surgidos no projeto e simulação de processadores nos últimos anos. Uma ferramenta para avaliar um novo conjunto de instruções deve ser capaz de gerar, automaticamente, ferramentas de software como simuladores, montadores, ligadores e até mesmo o *backend* de compiladores para ser um instrumento aplicado à rápida exploração de novas arquiteturas. Tais ferramentas são comumente baseadas em modelos de processadores descritos através de uma linguagem de descrição de arquiteturas.

Além disso, no contexto dos atuais projetos de sistemas dedicados, pode-se dizer que tais processadores serão, muito provavelmente, aplicados em sistemas heterogêneos, pois a demanda de processamento das aplicações aliada à complexidade do sistema aponta para um número cada vez maior de sistemas *multicores* ou multiprocessados. Essa tendência pode ser verificada, por exemplo, no *roadmap* do ITRS (*International Technology Roadmap for Semiconductors*) [ITRS 2005] que prevê que, em breve, 70% dos projetos ASIC (*Application Specific Integrated Circuit*) incluirão ao menos um processador programável embutido, o que significa que a maioria dos ASICs serão *System-on-chip* (SoCs).

Portanto, torna-se fundamental para o aumento da capacidade de exploração de alternativas de projeto nesse tipo de sistemas que se possa simular não só o processador executando um dado software, mas também todos os componentes envolvidos no sistema, tais como memórias, barramentos, sistemas de interconexão e IPs de aplicação específica projetados como módulos individuais. Isto proporcionará a um projetista experimentar diversas alternativas de arquitetura de um sistema como um todo, variando processadores, barramentos, sistema de interconexão e até mesmo o particionamento hardware/software, obtendo rapidamente, a cada mudança, uma especificação executável de seu sistema. Mais ainda, permite o reaproveitamento de módulos desenvolvidos previamente para a integração em um novo sistema. Todos esses fatores podem ter um impacto muito positivo no tempo total de desenvolvimento do produto, reduzindo seu *time-to-market*.

Essa necessidade de diminuição no tempo de projeto e a conseqüente implantação de técnicas de hardware/software *codesign* [DeMicheli 1996, Gasjki and Vahid 1995, Gupta et al. 1992], que é o desenvolvimento simultâ-

neo de hardware e software, criaram um ótimo momento para o desenvolvimento de metodologias e ferramentas baseadas no projeto em nível de sistema, ou no que hoje vem sendo chamado pela indústria de automação de projetos (EDA) de ESL (*Electronic System Level*) [McGrath 2005, Goering 2005]. Mais ainda, existem projeções de que o mercado para ferramentas de ESL pode chegar a mais de um bilhão de dólares por ano no futuro, tornando-se a principal área do segmento de EDA [Krishnadas 2005].

O objetivo deste capítulo é tratar do desenvolvimento de simuladores de sistemas dedicados. Será dado foco no desenvolvimento de sistemas multiprocessados, que representam uma nova vertente nessa área e que precisam de especial atenção, tanto do ponto de vista do programador final quanto do ponto de vista do projetista, para fornecer um conjunto mínimo aceitável de funcionalidades. Serão apresentadas a linguagem de descrição de arquiteturas ArchC, como meio de se obter rapidez e flexibilidade no projeto de simuladores de processadores, e a biblioteca de classes SystemC (baseada em C++), que vem surgindo como um novo padrão na indústria para projeto de sistemas complexos em alto nível de abstração. Recentemente, a especificação do SystemC foi aprovada como padrão IEEE 1666.

O capítulo está dividido da seguinte forma: a Seção 7.2 aborda os principais aspectos no projeto de um sistema dedicado; a Seção 7.3 discute os problemas encontrados no projeto de software para sistemas *multicore*; a Seção 7.4 apresenta linguagens de descrição de arquiteturas e descreve como modelar processadores na linguagem ArchC; a Seção 7.5 descreve como interligar os processadores com os demais módulos do sistema, definindo, inclusive, os níveis de abstração possíveis e formas de integrar componentes de mais de um nível de abstração usando a linguagem SystemC; a Seção 7.6 faz um apanhado de tudo o que foi descrito no capítulo e descreve um exemplo completo, que é de o um simulador de um sistema *multicore*; finalmente, a Seção 7.7 apresenta as conclusões.

7.2. Projeto de Sistemas Dedicados

Existem várias definições para sistemas dedicados. A definição mais geral – “Sistema Dedicado é todo sistema computacional que não é um computador” – faz com que sejam contabilizados bilhões de unidades produzidas por ano, contra milhões de computadores. Algumas das principais características comuns a esses sistemas [Vahid and Givargis 2002]:

Propósito único: Em geral, executam apenas um único programa repetitivamente. Essa característica está mais flexibilizada em alguns dispositivos, como os aparelhos celulares, que tiveram um grande aumento de funcionalidade, servindo de agenda eletrônica, câmera fotográfica, videogame, etc.

Fortes restrições de projeto: baixo custo, baixo consumo de energia, pequeno tamanho, velocidade, etc.

Reatividade: Em geral reagem ao que acontece ao redor deles, com pouca interação humana na maior parte dos casos.

Tempo Real: Precisam completar as tarefas em um intervalo de tempo bem definido, sem atrasos. Esse intervalo de tempo pode variar de números bem pequenos (milissegundos ou menos) até horas, dependendo da especificação do sistema.

Agrupadas a essas características e restrições, diversas métricas precisam ser consideradas no desenvolvimento de sistemas dedicados:

Custo unitário: Quanto custará produzir uma unidade do produto final (excluindo o NRE).

NRE: Sigla para *Non-recurring engineering*, é o valor gasto uma única vez para produzir o produto, também chamado de custo de engenharia.

Tamanho físico: Quanto de integração será necessário para o produto. Cada nova instância de um produto tende a ficar menor.

Desempenho: Qual a velocidade do produto para realizar sua funcionalidade. Frequência do processador ou número de instruções por segundo não são métricas de desempenho para um usuário final, que está preocupado com a execução da funcionalidade desejada num intervalo de tempo factível. Exemplos de medidas: quantas folhas por segundo uma impressora é capaz de imprimir, quantas fotos por segundo é possível tirar com uma câmera digital, etc.

Consumo de energia: O aumento de funcionalidades de um produto pode ocasionar um aumento no consumo de energia. Dois outros aspectos importantes estão relacionados com o consumo de energia: a duração da bateria em dispositivos que dependam dessa fonte de energia e a dissipação de calor, que pode afetar o tamanho do dispositivo, com a exigência de dissipadores, ou mesmo impedir que ele seja utilizável em certos locais.

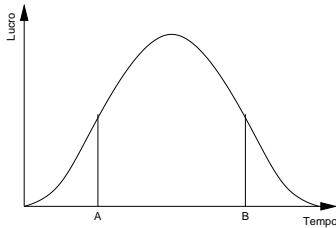
Flexibilidade: Capacidade de trocar a funcionalidade do dispositivo sem ter outro custo de NRE.

Tempo de prototipação: Tempo necessário para implementar uma versão totalmente funcional do sistema.

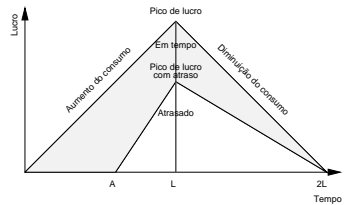
Tempo para mercado: Tempo necessário para começar a vender o produto (*time-to-market*).

Facilidade de manutenção: Capacidade de modificar o sistema após o seu lançamento para adequá-lo a novas funcionalidades ou corrigir deficiências.

Corretude: Garantia de que as funcionalidades implementadas são satisfatórias.



(a) Volume de vendas



(b) Entrada atrasada no mercado

Figura 7.1. Janela de mercado

Segurança: Garantia de que o produto não causará danos imprevistos quando utilizado.

Melhorar algumas dessas métricas pode afetar outras delas. Alguns exemplos são: um aumento de desempenho pode aumentar o consumo de energia, o NRE e o tamanho; uma diminuição do NRE pode ocasionar um aumento no consumo de energia, no tamanho físico e até no custo unitário; aumento na flexibilidade pode levar ao aumento no consumo de energia, maior facilidade de manutenção, aumento de tempo para mercado e do tempo de prototipação.

7.2.1. Custo do Produto

Maximizar o lucro obtido pelo produto no mercado implica diminuir o custo, o NRE, ou aumentar as vendas. O aumento de vendas está diretamente relacionado com a janela de mercado (Figura 7.1), que impõe restrições críticas em torno do tempo de projeto de um produto. Observe que o lucro cresce até um pico e depois decai com o término da vida útil do produto. A Figura 7.1(a) indica a forma usual da janela de mercado (o intervalo de A até B pode ser visto como uma meta de tempo de vendas pela empresa) e a Figura 7.1(b) indica o impacto nas vendas de um produto que foi lançado atrasado. Um modelo simplificado para cálculo de lucro leva em consideração as áreas dos triângulos de lucros da Figura 7.1(b). Uma entrada atrasada no mercado, indicada pelo ponto A , leva a uma redução nas vendas e no lucro máximo que poderá ser obtido, proporcional à área destacada na figura.

Calcular o custo do produto implica medir o custo de produção e o NRE. O NRE é fortemente dependente das escolhas durante o projeto e precisa ser diluído por todos os produtos. A Tabela 7.1 indica possíveis custos para 3 tecnologias distintas de produção. Cada uma delas possui um NRE e um custo de produto diferente. Esses dados só servirão para sustentar alguma decisão se houver uma estimativa de produção total para que os custos do NRE sejam

	ASIC	Componentes avulsos	Lógica Programável
Nível de integração	Alto	Baixo	Alto
Custo de desenvolvimento	Alto	Baixo	Baixo
Custo unitário	Baixo	Baixo	Moderado
Flexibilidade do projeto	Baixa	Baixa	Alta
Tempo de desenvolvimento	Longo	Moderado	Curto

Tabela 7.3. Comparação entre as formas de desenvolvimento de sistemas dedicados

O uso de componentes avulsos tem se justificado hoje em dia apenas para projetos pequenos e que possuam flexibilidade de área para implementação. Em geral, muitos desses sistemas já incluem dispositivos lógicos programáveis (PLDs ou FPGAs) em suas placas, mas geralmente são componentes pequenos para implementação de *glue logic* ou substituição de componentes que saíram de linha ou que não existam em quantidade necessária (os dois últimos são fatores importantes contra o uso de componentes avulsos).

Em relação ao uso feito dessas tecnologias, à medida em que os sistemas dedicados crescem, maiores são as chances deles incluírem um ou mais processadores e, nesse momento, outra escolha importante será necessária no projeto. A escolha prévia da tecnologia de implementação já pode ter imposto alguma restrição nas opções de processadores disponíveis, mas muito provavelmente não se restringiu ainda a apenas um processador. Sendo assim, algumas questões devem ser consideradas:

Tamanho da palavra: Denomina-se palavra a unidade comum de manipulação de informações pelo processador. Os processadores mais comuns da atualidade têm palavras de tamanho 8, 16, 32 e 64 bits. Esse tamanho está intrinsecamente relacionado à quantidade de dados que podem ser manipulados de uma só vez pelo processador, ao tamanho de cada registrador do seu banco de registradores e também ao espaço endereçável. Dois exemplos bastante regulares são as arquiteturas MIPS II e SPARC v8, que possuem palavras de 32 bits, com registradores também de 32 bits, instruções de 32 bits e 32 bits de espaço de endereçamento. Por outro lado, processadores atuais da família x86 da Intel ou AMD têm palavras de 32 ou 64 bits (no caso do Intel EM64T e AMD64), instruções de tamanho variado, registradores de 8, 16, 32, 64 e 128 bits e espaço de endereçamento podendo variar de 32 até 48 bits. Por ser uma arquitetura tão complexa, é pouco comum ver processadores x86 em sistemas dedicados pequenos¹. O processador ARM, que domina

¹ Até mesmo a Microsoft, grande desenvolvedora de software para a família x86 de processadores, trocou o processador Pentium pelo PowerPC na segunda versão de seu

rias ao sistema em questão. A Tabela 7.4 ilustra o espaço de endereçamento do processador Leon2, que é uma implementação da arquitetura SPARC v8. Uma propriedade importante desse mapa de memória é a disponibilidade de apenas 1Gb para software de usuário num espaço de endereçamento total de 4Gb. Essa característica está presente, em maior ou menor quantidade, em todos os espaços de endereçamento de todos os processadores². Ainda com base nesse espaço de endereçamento, os arquivos executáveis devem ser preparados para utilizar apenas o espaço entre os endereços 0x40000000 e 0x7FFFFFFF. Outra característica importante, não mostrada no mapa de memória, é que o processador inicia sua execução a partir do endereço 0, onde encontra um código de partida (*boot*) que, provavelmente, carregará um programa para a memória RAM e transferirá o controle para seu endereço de início. Cada programa pode ter um endereço de início, que é geralmente guardado num dos campos de controle do arquivo executável mas, num sistema dedicado, é muito comum que o endereço de início seja rígido e faça parte da especificação da plataforma.

Intervalo	Tam.	Conteúdo	Controlador
00000000 1FFFFFFF	512Mb	PROM	Contr. de Memória
20000000 3FFFFFFF	512Mb	I/O em Memória	Contr. de Memória
40000000 7FFFFFFF	1Gb	SRAM e/ou SDRAM	Contr. de Memória
80000000 8FFFFFFF	256Mb	Registradores on-chip	Barramento APB
90000000 9FFFFFFF	256Mb	Unidade de depuração	DSU

Tabela 7.4. Espaço de endereçamento do processador Leon2, implementação da arquitetura SPARCv8

Tratamento de interrupções: A forma mais eficaz para tratamento a eventos externos aos processadores é utilizar interrupções, também chamadas de exceções³. São duas as formas mais comuns de tratamento de in-

² Nos processadores Pentium IV sem suporte a 64 bits, o espaço de endereçamento também não chega aos 4Gb possíveis para programa.

³ Algumas arquiteturas distinguem o termo interrupção de exceção, utilizando o primeiro para eventos externos ao processador e o segundo para evento interno. Neste texto, os dois termos serão tratados como sinônimos e será utilizado o termo interno ou externo quando for necessário identificar a origem do evento.

Ao se comparar processadores, não se deve perder de foco a aplicação destino, principalmente se o software que será executado possuir características críticas. Um exemplo a destacar é a escolha do processador para o projeto PRISMA da Agência Espacial Européia [Gill 2005]. Nesse exemplo foram considerados três processadores diferentes: ARM7TDMI, PowerPC823 e Leon2. Ao executar a carga de trabalho esperada, o processador Leon2 se destacou sendo 4-5 vezes mais rápido que o ARM que foi 2 vezes mais rápido que o PowerPC. O único ponto a destacar do estudo é que o Leon2 é o único processador com unidade de ponto flutuante que é bastante utilizada pelo software. Esse fato não invalida o estudo, apenas serve para destacar a necessidade de conhecer, antecipadamente, o software que será utilizado.

Outra comparação, considerando os quesitos usabilidade, área, flexibilidade e desempenho, foi feita com os processadores MicroBlaze da Xilinx, Leon2 da Gaisler Research e OpenRISC 1200 da OpenCores [Mattsson and Christensson 2006]. Neste estudo, os autores relatam o quão difícil é chegar a resultados que possam ser comparados de forma justa, visto que a comparação deve ser feita para cada funcionalidade, mas sempre tentando chegar a um resultado final único. Como o trabalho focou na comparação sem um software específico, como no caso anterior, os resultados apenas indicam uma direção de resultado, não uma escolha definitiva de processador para todos os casos, como era de se esperar.

7.2.3. SystemC

Na modelagem de um sistema dedicado complexo, deve-se utilizar todo o ferramental disponível para reduzir o *overhead* de projeto, garantindo mais eficiência no desenvolvimento e menor possibilidade de erro, por não ter que implementar características básicas já disponíveis e testadas. SystemC [OSCI 2005] é uma biblioteca de classes gratuita que foi criada para projetos em nível de sistema. Utilizando SystemC pode-se modelar, simultaneamente, hardware e software, com seus comportamentos distintos permitindo, inclusive, refinar o código durante o desenvolvimento, migrando partes de software para hardware e vice-versa.

SystemC tornou-se o padrão IEEE 1666 no início de 2006, o que garante que diferentes implementações devem possuir as mesmas características funcionais documentadas. A seguir, será dada uma breve visão de SystemC; maiores detalhes podem ser obtidos através das referências bibliográficas. Para ilustrar alguns elementos básicos de SystemC, um exemplo com três arquivos será mostrado. Esse exemplo é composto por um módulo que detecta, entre suas duas entradas, qual delas tem o maior valor e coloca esse valor na saída; um segundo módulo que gera entradas para o primeiro e um arquivo principal que instância os dois módulos, interliga suas portas com sinais e realiza uma simulação.

A Figura 7.2 inicia o exemplo com um módulo em SystemC que recebe dois inteiros sem sinal como entrada e gera como saída o maior deles. Para facilitar

```
1 #include "systemc.h"
2
3 SC_MODULE( Estimulos )
4 {
5     sc_out<unsigned int> A, B;
6     sc_in<bool> Clk;
7
8     void GeraEstimulos()
9     {
10        A.write(5);
11        B.write(7);
12        wait();
13        ...
14        sc_stop();
15    }
16
17    SC_CTOR( Estimulos )
18    {
19        SC_THREAD( GeraEstimulos );
20        sensitive << Clk.pos();
21    }
22 };
```

Figura 7.3. Exemplo de SystemC: Gerador de estímulos para o módulo Maior

tra um módulo que gera estímulos para o módulo Maior. No corpo do método `GeraEstimulos` existem 3 seqüências de definições de valores para A e B, seguidos de uma chamada à função `wait()`, que aguarda pelo próximo evento. Observe também que o método `GeraEstimulos` foi declarado dentro do construtor como `SC_THREAD`, característica necessária para permitir a chamada de `wait()`. `SC_THREAD` declara métodos que são considerados como *threads* ao invés de processos. Ao final de `GeraEstimulos` existe uma chamada a `sc_stop`, que encerra a simulação em SystemC. Outra característica desse exemplo é a sensibilidade à subida do sinal `Clk` (caracterizado pelo uso de `Clk.pos()`).

Por fim, a terceira e última parte desse exemplo é o arquivo principal, ilustrado na Figura 7.4. Esse é um modelo-padrão de arquivo principal do SystemC, contendo a declaração de sinais (`signalA`, `signalB`, `signalC` e `clock`), que servem para interligar os módulos. Logo a seguir estão as declarações dos dois módulos (`Estimulos` e `Maior`) e a ligação dos sinais às portas dos dois módulos. Ao fim dessa seqüência existe uma chamada a `sc_start()`, que inicia a simulação.

Esses são os conceitos básicos de SystemC. Declaram-se módulos que podem ser compostos por sub-módulos e assim, sucessivamente, faz-se a interligação desses diversos componentes e gera-se um simulador do sistema implementado. SystemC foi desenvolvido para modelar sistemas maiores que o exemplo anterior, com elementos mais complexos, muitos deles já pré-

final e em que endereços de memória deve ficar cada pedaço do programa final. Criar um sistema com um processador com mapa de memória diferenciado geralmente obriga o desenvolvedor a escrever um novo arquivo de *specs*. Como próximo passo, o `gcc` indica as opções que foram usadas na sua própria compilação. A seguir, o executável `cc1`, que é o compilador C, é chamado, tendo entre suas diversas opções a especificação de um arquivo de saída em *assembly* no diretório `/tmp`. Esse arquivo *assembly* contém o código referente ao arquivo `hello.c`. Esse código em *assembly* é então usado como entrada do montador `as` que gerará como saída um arquivo-objeto, também no diretório `/tmp`. Chega-se então na última fase do comando `gcc`, que consiste em ligar o código-objeto obtido pela compilação e montagem do programa-fonte fornecido com todos os outros arquivos necessários para criar um executável. O ligador recebe vários arquivos, em ordem, como parâmetros. Apenas um desses arquivos provém do `hello.c` fornecido como entrada para o `gcc`; todos os outros são trechos de programas ou implementações de funções necessárias para a correta execução de um programa C no sistema operacional e plataforma escolhidos. Entre esses arquivos, destacam-se os iniciados pelas letras `crt` (`crt1.o`, `crti.o`, `crtbegin.o` para o início do código e `crtend.o`, `crtn.o` para o final do código). Os outros arquivos passados como parâmetros indicam a biblioteca C que foi utilizada (em geral, `glibc` para *desktops* e `newlib` para sistemas dedicados) e os diretórios onde os demais arquivos que forem passados como parâmetros podem ser encontrados. Outras bibliotecas podem ser incluídas dependendo do sistema operacional, da linguagem utilizada e da versão do compilador. É exatamente num dos arquivos `crt` de início que a função `main` é chamada garantindo, assim, um ponto de entrada no código padronizado do ponto de vista do usuário⁴. Modificar a forma como o executável é carregado na memória implica alterar um ou vários desses arquivos que são ligados ao programa principal. Apesar do `gcc` ser um compilador único com suporte a várias plataformas, é necessário olhar diretamente as implementações desses arquivos do processador desejado para checar a viabilidade das alterações.

Uma característica importante do compilador `gcc` é sua portabilidade (possibilidade de executar em várias plataformas) e capacidade de gerar código para várias plataformas. É chamado de *cross-compiler* o compilador que executa numa plataforma e gera código para outra. Nesse caso, a primeira plataforma é chamada de *host* ou hospedeira e a segunda de *target* ou destino. No desenvolvimento de um sistema dedicado, praticamente a totalidade dos programas é gerada utilizando um *cross-compiler*. Uma característica do `gcc` para geração de código para plataformas distintas é a necessidade de uma instância do compilador para cada plataforma-destino possível.

⁴ O arquivo executável pode ter sua primeira instrução em qualquer lugar, mas essa instrução estará dentro de um dos arquivos `crt` que, na seqüência de execução, chamará a função `main` do usuário.

O principal problema é que aplicações seqüenciais, que na literatura são comumente chamadas de *single-threaded*, não conseguem tirar proveito das características das novas arquiteturas *multicore* ou multiprocessadas. Em outras palavras, o desempenho de uma aplicação desse tipo não melhora simplesmente por executarmos o programa em um processador *multicore*. Linguagens como C e C++ são muito comuns no desenvolvimento de aplicação de propósito geral e para sistemas dedicados, mas não oferecem na própria linguagem mecanismos para ajudar no particionamento da aplicação. Daí o surgimento de bibliotecas especiais para suportar o que é conhecido como **programação paralela**.

Programação paralela é a exploração de paralelismo dentro de uma tarefa, visando fazer com que ela seja executada de maneira mais eficiente para um dado tamanho do problema. Durante anos, esse tipo de programação ficou quase exclusivamente restrito aos domínios dos desenvolvedores de software para computação de alto desempenho utilizando supercomputadores. Dadas as recentes mudanças nas arquiteturas dos processadores, em breve todo desenvolvedor de software vai precisar ter algum conhecimento sobre esse assunto. A boa notícia é que durante todos esses anos os desenvolvedores da computação de alto desempenho criaram inúmeras técnicas, interfaces de programação (*APIs*) e ferramentas que podem passar a ser úteis para todos os programadores.

Atingir um ganho razoável de desempenho em sistemas multiprocessados exige que tenhamos um software que seja capaz de explorar **concorrência**, que é a habilidade de executar mais de uma tarefa simultaneamente. Alguns pontos devem ser cuidadosamente analisados para a implementação de um software que explore o fator concorrência:

Identificar a concorrência: Isto vale, tanto quando se está começando a pensar na solução de um problema e se quer fazê-lo de forma a explorar paralelismo, quanto para o processo de transformar um programa que realiza tarefas de forma seqüencial em um programa paralelo. Essa tarefa pode ser simples para alguns problemas que são claramente paralelizáveis, mas em termos gerais é uma tarefa bastante difícil, ou até mesmo impossível para determinados problemas.

Projeto do algoritmo: Projetar desde o início ou alterar o projeto de um algoritmo de maneira que ele se torne paralelo, isto é, explicitamente concorrente. Muitos dos algoritmos usados em aplicações multimídia são paralelizáveis. Um exemplo seria uma aplicação normalmente chamada de *raytracer*, onde uma imagem 3D é renderizada a partir de processamento dos raios de luz que vão do observador, ou câmera, em direção à imagem. Cada raio pode ser tratado de maneira independente, sendo o processamento de raios claramente paralelizável. Existem algoritmos onde é possível processar uma imagem dividindo-a em regiões, atribuindo o processamento de cada região a um processador diferente. Note que podem surgir problemas nas fronteiras das regiões. Imagine

da aplicação, as *threads* podem compartilhar dados de uma maneira que não foi prevista pelo programador. Um erro muito difícil de ser detectado que pode ocorrer em um programa *multi-thread* é a chamada condição de corrida (*race condition*). Essa é uma situação onde o resultado do programa muda de acordo com o escalonamento de execução das *threads*, fazendo com que o programa alterne entre execuções corretas e errôneas, dependendo da ordem com que as *threads* foram escalonadas. O programador consegue garantir que a aplicação gera o resultado correto, não importando a ordem como as instruções das várias *threads* forem intercaladas, usando construções de sincronização, como as chamadas operações atômicas. Por exemplo, uma *thread* pode fazer uma leitura e escrita atômicas em uma posição de memória, significando que nenhuma outra *thread* terá acesso àquela mesma posição antes do término da operação.

7.3.1. Alternativas de Implementação para Programação Multi-thread

Uma vez projetado o algoritmo paralelo para a aplicação, o programador precisa tomar uma decisão importante: como traduzir esse algoritmo para um programa paralelo? A resposta é utilizar alguma interface de programação (API) ou biblioteca que permita expressar a concorrência em seu programa-fonte.

Existem bibliotecas de programação *multi-thread* para vários sistemas operacionais modernos como a *pthreads* [Stevens 1999], no ambiente Unix, e a *Windows threads*. Basicamente, o código que contém o processamento a ser executado em uma *thread* deve ser colocado dentro de uma sub-rotina. Em algum momento do programa essa sub-rotina é passada para a função de biblioteca responsável pela criação da *thread*, e a execução é dividida a partir desse ponto. Essas bibliotecas deixam muitos dos detalhes de gerenciamento das *threads* a cargo do programador, o que exige um esforço de codificação e está sujeito a erros. Em contrapartida, esse controle dos detalhes pode ser útil para atingir uma vantagem para o ajuste de seu programa a características do sistema.

Uma API para programação *multi-thread* muito usada atualmente é chamada de OpenMP [Chandra et al. 2000] (<http://www.openmp.org>). OpenMP suporta programação paralela utilizando memória compartilhada em C/C++ e Fortran, tanto em ambiente UNIX quanto em Windows. Essa API é um conjunto de diretivas de compilação e uma biblioteca de rotinas para tempo de execução para possibilitar a programação *multi-thread*. Os programadores utilizam as diretivas de OpenMP tipicamente para paralelização de laços em seus programas, apesar de também possuir recursos para programação *multi-thread* mais geral. Laços normalmente representam os pontos de maior gasto de tempo de execução. Basicamente, essas diretivas instruem o compilador a paralelizar as iterações desses laços.

A principal vantagem de OpenMP em relação às bibliotecas explícitas de

indústria. Hoje em dia, ADLs são utilizadas para geração de simuladores de conjunto de instruções e microarquitetura, montadores, ligadores, compiladores, e até mesmo para síntese de implementação de circuitos em linguagens como VHDL. Essa grande diversidade de aplicações faz com que surjam os mais diversos requisitos de sintaxe e semântica em tais linguagens. Para a maioria dos projetistas de ADLs, os fatores mais importantes são a *flexibilidade* e a *analísabilidade*. Flexibilidade é a capacidade de uma linguagem descrever precisamente uma grande variedade de arquiteturas de processadores, como RISC, CISC, superescalares, etc. Esta é uma característica importante para propiciar ao usuário alternativas de exploração de espaço de projeto. Analísabilidade é a capacidade de extração de informações da descrição de um processador, no nível de abstração adequado, para que propriedades de alto nível da arquitetura sejam possíveis de ser analisadas. Esta é uma característica importante para ADLs que visam a geração de compiladores, por exemplo. O ponto importante a ser destacado aqui é que esses dois fatores são muitas vezes conflitantes, pois uma maior analísabilidade pode exigir uma semântica de um nível de abstração bastante alto, enquanto a flexibilidade normalmente é melhor com uma semântica de mais baixo nível, que contenha mais detalhes da microarquitetura. O correto balanceamento desses dois aspectos é uma grande desafio aos projetistas de ADLs.

Existem classificações de ADLs que visam um melhor entendimento da flexibilidade e analísabilidade de cada uma. Um tipo de classificação que encontramos na literatura é a divisão de ADLs em três classes:

1. **ADLs baseadas em comportamento:** São linguagens que se baseiam somente na descrição dos comportamentos relativos ao conjunto de instruções de um processador para obtenção de informações sobre a arquitetura, visando gerar ferramentas de software automaticamente. Devido ao nível de abstração extremamente alto, linguagens dessa classe tendem a ter deficiências em descrições com precisão de ciclos de arquiteturas complexas.
2. **ADLs baseadas em estrutura:** São linguagens que se baseiam em informações de mais baixo nível sobre o hardware do processador, podendo conter diagramas de blocos ou *net-lists* no nível de transferência de registradores (RTL).
3. **ADLs híbridas:** São linguagens que se baseiam, tanto em informações sobre o conjunto de instruções, como em informações sobre a estrutura interna do processador, normalmente fornecidas em nível de abstração mais alto do que em linguagens exclusivamente baseadas em estruturas.

nML [Fauth et al. 1995, Fauth and Knoll 1993, Freericks 1993] é uma ADL que foi desenvolvida baseada na informação que está tipicamente disponível no manual do programador de um processador, que consiste de uma lista de instruções e suas respectivas operações de transferências entre registradores, codificação binária e sintaxe *assembly*. nML foi criada na *Technical University*

outras linguagens já citadas na época de sua criação. Os autores justificam o investimento nessa característica com o argumento de que SoCs permitem a introdução de novas organizações de memória no sistema. Grun et al [Grun et al. 1999] introduziram um algoritmo para extrair as informações necessárias à construção de tabelas de reserva a partir de descrições de arquiteturas feitas em EXPRESSION. Esse é um recurso importante para possibilitar a geração automática do compilador [Halambi et al. 1999]. Como destacado em [Qin and Malik 2005], a primeira versão de EXPRESSION continha um mecanismo implícito de descrição de mecanismos de *pipeline*, como *stall* e *flush*, o que limita a flexibilidade da linguagem. Mishra et al [Mishra et al. 2001] apresentaram uma metodologia de projeto baseada em abstração funcional, que visa dar a EXPRESSION mecanismos para uma modelagem mais explícita do controle do *pipeline*.

Vojin Zivojnovic et al [Zivojnovic et al. 1996a, Zivojnovic et al. 1996b] introduziram a linguagem LISA. Em um primeiro momento, LISA foi desenvolvida para permitir a geração automática de simuladores rápidos, utilizando a técnica de simulação compilada, e com precisão de bit e de ciclos. Quando introduzida, a principal contribuição de LISA foi a sua descrição do *pipeline* em nível de operação e modelo de seqüenciamento. Essa primeira versão da linguagem não era apropriada para geração de geradores de código e montadores. Para modelar um seqüenciador de operações, LISA seguiu as idéias básicas de tabelas de reserva e *Gantt charts* [Zivojnovic et al. 1996a], estendendo Gantt charts para permitir a modelagem de *hazards* de dados e controle e *flushes* de *pipeline*. A unidade de funcionalidade em LISA são as chamadas operações, que podem ser entendidas como o comportamento de uma instrução dentro de um estágio de *pipeline*. Nos simuladores com precisão de ciclos gerados por LISA, podemos considerar cada estágio de *pipeline* como um *buffer* de operações, que é preenchido à medida que as instruções são decodificadas e decompostas. Esse modelo está limitado à modelagem de execução em ordem.

LISA foi inicialmente proposta na *Aachen University of Technology*, na Alemanha. O desenvolvimento de extensões e ferramentas para a linguagem LISA esteve inicialmente ligado às empresas AXYS (<http://www.axysdesign.com>) e LISATek, que foi adquirida pela CoWare (<http://www.coware.com>), a proprietária do maior número de ferramentas baseadas em LISA atualmente. Esse investimento gerou várias extensões ao conjunto de ferramentas nos últimos anos. Hoffmann et al [Hoffmann et al. 2001] utilizaram a linguagem LISA para criar um *framework* para co-simulação hardware/software. No lado de software, modelos descritos em LISA são aplicados na criação de um conjunto de ferramentas, como os descritos acima, composto de simulador, montador, compilador e uma interface de co-simulação. No lado de hardware, modelos em SystemC RTL são conectados a simuladores externos utilizando-se a interface de simulação, com o objetivo de propiciar a co-simulação de modelos em níveis de abstração diferentes.

permitir uma sintaxe semelhante à C++ em alguns aspectos é LISA.

As descrições de comportamentos em ArchC são divididas por instrução, isto é, existe um método de comportamento para cada instrução. Este método pode estar descrito em diferentes níveis de abstração, podendo conter um comportamento mono-ciclo (como em modelos funcionais), multi-ciclo ou ainda dividido em estágios de *pipeline*. Como os comportamentos são descritos em um arquivo que é puramente C++, o usuário tem a flexibilidade de poder usar qualquer código C++ válido na sua descrição de comportamentos, inclusive podendo adicionar funções auxiliares, ligar um conjunto próprio de classes que deseje reaproveitar ou usar qualquer tipo de dado ou método fornecido por SystemC. Essa possibilidade de inclusão de código SystemC, aparece pois ArchC gera simuladores descritos em SystemC.

A partir de modelos de processadores em ArchC é possível a geração de simuladores interpretados e compilados [Azevedo et al. 2005, Rigo et al. 2004, Bartholomeu et al. 2004], montadores [Baldassin et al. 2005] e ligadores, interfaces entre os simuladores e o depurador GDB, interfaces de comunicação entre os simuladores e módulos de hardware escritos em SystemC e a descrição de hierarquias de memória [Viana et al. 2004] e bibliotecas de emulação de chamadas de sistema operacional.

Uma desvantagem desse sistema de classificação para as ADLs é que muitas linguagens são enquadradas na categoria de híbridas, tornando difícil uma clara diferenciação entre a maioria das linguagens existentes. Uma classificação alternativa para ADLs seria com relação ao modelo de computação adotado por cada uma. Essa classificação foi recentemente proposta pelos autores da linguagem MADL (Mescal Architecture Description Language) [Qin 2004]. O diferencial dessa linguagem está exatamente no modelo de computação adotado, que os autores definiram em uma tentativa de alcançar um bom compromisso entre flexibilidade e analisabilidade, e trazer uma fundamentação teórica para ADLs. Os modelos de computação definidos para essa nova classificação para as linguagens mencionadas acima são:

Modelo de Eventos Discretos: Este é o modelo padrão para modelagem de circuitos digitais, tendo sido usado na linguagem estrutural MI-MOLA [Bashford et al. 1994].

Modelos de Domínio Específico: Nesta classe se encaixam as ADLs que centralizam a descrição do processador na especificação do comportamento das instruções, isto é, abstraem estágios de *pipeline* de maneira que estes se tornam apenas entidades de armazenamento pelas quais passam as instruções. A descrição das operações realizadas em cada estágio está diluída dentro da especificação dos comportamentos de instruções. Essas características englobam a maioria das linguagens híbridas, como LISA, ArchC e RADL. Como vimos anteriormente, o modelo de execução de LISA é baseado em operações e em *Gantt-Charts*. RADL é idêntica a LISA nesse aspecto. ArchC, devido ao fato dos comportamentos de instrução serem descritos em C++/SystemC, tem a flexi-

vel do conjunto de instruções, que pode ser instrumentada com interfaces de comunicação, depuração e hierarquia de memória, se assim desejado. Uma descrição com precisão de ciclos envolve detalhes de estrutura do processador, como, por exemplo, declaração de um *pipeline* incluindo seus estágios e registradores. Desta forma, o comportamento das instruções também deve ser codificado de maneira bem mais detalhada, para refletir uma eventual divisão das operações em estágios de *pipeline* ou multi-ciclos. É aconselhável que os usuários iniciem o projeto de uma arquitetura em ArchC através de um modelo funcional e, posteriormente, se necessário, desenvolvam o modelo com precisão de ciclos.

Um modelo funcional é capaz de executar todo o conjunto de instruções de uma dada arquitetura, portanto, consegue rodar qualquer aplicação compilada para a mesma, executando todo o comportamento de uma instrução em um único ciclo. Mesmo quando um modelo mais detalhado, possivelmente com precisão de ciclos, é necessário ao projeto, a experiência e o conhecimento sobre o conjunto de instruções adquiridos pelo projetista durante a elaboração de um modelo funcional são muito importantes para que ele seja capaz de desenvolver o modelo mais refinado mais rapidamente. Além disso, erros de modelagem geralmente são mais fáceis de ser identificados e corrigidos no modelo de mais alto nível (funcional). Um modelo funcional bem verificado evita que muitos desses erros sejam propagados para o modelo de mais baixo nível, onde sua depuração pode ser bem mais complexa. Nesta seção apresentamos uma introdução à modelagem de processadores usando ArchC, utilizando como exemplo modelos funcionais. Para detalhes sobre descrições com precisão de ciclos o leitor pode se referir ao manual de referência da linguagem [Team 2004].

7.4.1.1. Descrevendo os Recursos do Processador

ArchC necessita de informações estruturais sobre os recursos disponíveis na arquitetura para que possa gerar, automaticamente, as ferramentas de software. Em ArchC, o projetista fornece tais informações através da descrição chamada `AC_ARCH`.

Uma descrição de arquitetura no nível funcional requer uma descrição de comportamento de instruções razoavelmente simples, como será mostrado na Seção 7.4.1.2, e também não necessita de muitos detalhes estruturais da arquitetura, como mostra o exemplo da Figura 7.6. Este exemplo ilustra o mínimo de informação estrutural necessária para se construir um modelo da arquitetura MIPS em ArchC, que consiste em declarar uma memória para dados e programa, um banco de 32 registradores e dois registradores especiais chamados `HI` e `LOW`. Esses dois últimos registradores são utilizados pela arquitetura MIPS [Kane and Heinrich 1992] para a realização de operações de multiplicação e divisão. Uma descrição `AC_ARCH` para um modelo funcional da arquitetura SPARC [SPARC 1992] também conta com apenas esses elemen-

```

1 AC_ARCH(sparcv8){
2
3   ac_mem MEM:5M;
4   ac_regbank RG:8;
5   ac_regbank RB:256;
6   ac_reg PSR,Y;
7   ac_wordsize 32;
8
9   ARCH_CTOR(sparcv8){
10    ac_isa("sparcv8_isa.ac");
11    set_endian("big");
12  };
13 };

```

Figura 7.7. SPARC funcional: Declaração de registradores

7.4.1.2. Especificando o Conjunto de Instruções

A descrição `AC_ISA` fornece à ArchC toda a informação necessária para a geração automática de um decodificador, um montador, um ligador, assim como o comportamento de cada instrução na arquitetura. Essa descrição é dividida em dois arquivos: um contendo as declarações de instruções, seus respectivos formatos e seqüência de decodificação através de palavras-chave de linguagem ArchC e outro contendo o comportamento das instruções descritos em C++/SystemC.

A Figura 7.8 mostra um exemplo de uma descrição `AC_ISA` extraído do modelo MIPS. A arquitetura MIPS é do tipo RISC, onde não existem muitos formatos diferentes para as instruções e todas são do mesmo tamanho. Entretanto, em arquiteturas mais complexas como CISC, DSPs e VLIW, o mesmo pode não ocorrer. Baseado neste exemplo, vejamos algumas das palavras-chaves de ArchC que podem aparecer numa descrição `AC_ISA`:

`AC_ISA`: Uma descrição de conjunto de instruções sempre começa por essa palavra-chave. O projetista precisa informar o nome do projeto, entre parênteses, assim como foi feito para a descrição `AC_ARCH` (Seção 7.4.1.1).

`ac_format`: Declara um formato e seus campos. A *string* atribuída ao formato representa sua subdivisão em campos. A declaração de um campo é iniciada pelo caractere %, seguido de um identificador que se torna o nome do campo. O número após os dois pontos (:) indica o tamanho, em bits, do campo. Por exemplo, a *string* "%rs:5" declara um campo de largura 5 bits com nome `rs`, como mostra a Figura 7.8.

`ac_instr <fmt>`: Declara uma instrução. Toda instrução deve ser associada a um formato previamente declarado. Formatos são associados a instruções usando uma sintaxe similar à de *templates* em C++. Na Figura 7.8, o formato `Type_R` é associado à instrução `add`.

(*template*) do arquivo da descrição de comportamentos. Este arquivo é um esqueleto de um arquivo fonte C++/SystemC onde o projetista preencherá os métodos de comportamento para todas as instruções que foram declaradas na arquitetura. Esse arquivo modelo é nomeado como *project_name-isa.cpp.tmpl*.

A Figura 7.9 mostra o comportamento para a instrução *add* da arquitetura MIPS. O conjunto de instruções MIPS-I é bastante simples, de maneira que muitas de suas instruções podem ser descritas tão facilmente quanto é apresentado nesse exemplo. É importante notar que os dispositivos de armazenamento declarados pelo projetista na descrição *AC_ARCH* são acessados diretamente através de métodos de leitura (*read*) e escrita (*write*) em descrições de comportamentos. Memórias são sempre endereçadas a *byte* e esses métodos sempre retornam uma palavra.

```
1 // Instruction add behavior method.
2 void ac_behavior( add ){
3     RB.write( rd , RB.read( rs ) + RB.read( rt ));
4 };
```

Figura 7.9. MIPS: Comportamento de uma instrução

7.4.1.4. Geração de Simuladores

O objetivo de se descrever um processador em uma ADL como ArchC é a geração automática de ferramentas de software para esse modelo. A Figura 7.10 mostra o fluxo natural de projeto utilizando essas ferramentas, onde *acsim* e *accsim* são, respectivamente, geradores de simuladores interpretados e compilados, *acasm* é o gerador de montadores e *aclink* é o gerador de ligadores.

A ferramenta *acsim* é responsável pela geração do simuladores interpretados escritos em SystemC. O processo de geração e compilação dos simuladores é bastante simples. Os passos abaixo ilustram a construção do simulador do modelo MIPS e a execução do programa PROG1.

```
1 $ acsim mips.ac -abi
2 $ make -f Makefile .archc
3 $ ./mips --load=PROG1
```

Os primeiros simuladores gerados automaticamente com a ajuda de ADLs usaram uma técnica de simulação chamada interpretada, que imita o comportamento do hardware: primeiro busca bytes na memória, depois decodifica a seqüência de bytes como uma instrução e só então a executa. Com a crescente complexidade dos sistemas, esta técnica passou a ter um desempenho aquém do esperado, o que fez crescer a pesquisa nesta área para encontrar um método mais rápido de simulação.

dos especificamente para fazer a conversão entre esses níveis. Esses módulos são chamados de *wrappers*. Nesta seção, serão tratados apenas módulos escritos nos níveis:

RTL: Sigla para *Register Transfer Level*, que é um nível de abstração baixo, composto por mapeamentos de componentes e operações que podem ser mapeadas diretamente para hardware. A ligação entre os componentes é feita através de sinais (abstração para fios). Em geral, esse nível é bem definido, tanto do ponto de vista dos projetistas, quanto do ponto de vista de fabricante de ferramentas de projeto de hardware. Por ser de mais baixo nível, um simulador RTL gasta mais tempo para realizar uma determinada tarefa que um simulador de nível de abstração mais alto, no entanto, ele é mais preciso em relação à temporização das operações, o que é útil nas fases mais avançadas do desenvolvimento.

TLM: Sigla para *Transaction Level Model*, que é um nível de abstração mais alto. Em geral, todos os módulos possuem uma descrição também em alto nível e a comunicação entre eles é feita através da chamada de métodos das classes, seguindo uma interface bem definida. É justamente nessa interface que reside o problema: como TLM significa tão-somente *chamada de função*, é necessária uma especificação bem detalhada das interfaces e suas funcionalidades, que será tratada nesta seção. Em geral, um simulador comportamental, com comunicação TLM, consegue mais velocidade de simulação ao custo da perda de informações sobre a temporização.

7.5.1. O Padrão TLM 1.0 do SystemC

O padrão OSCI TLM 1.0 [SystemC TLM Working Group 2005] tem por finalidade especificar as interfaces para comunicação TLM. As principais motivações relacionadas com a proposta do padrão são:

- Adiantar a disponibilidade de uma plataforma para desenvolvimento de software;
- Exploração do projeto como um todo;
- Fornecer um modelo completo do sistema para verificação.

Os três principais conceitos relacionados com o padrão TLM são:

- **Interfaces:** O padrão dá ênfase nas interfaces ao invés da implementação dos métodos. Todas as interfaces definidas devem ser descendentes da classe `sc_interface`. O foco nas interfaces advém do fato de SystemC ser uma biblioteca de classes e C++ ser uma linguagem orientada a objetos. Apenas após a definição rígida das interfaces é que questões relacionadas à implementação devem ser tratadas.
- **Bloqueantes X Não-Bloqueantes:** Como em SystemC existem dois tipos básicos de processos, `SC_THREAD` e `SC_METHOD`, e somente o

```
1 RSP transport(const REQ &req)
2 {
3     RSP rsp;
4     mutex.lock();
5     request_fifo.put(req);
6     response_fifo.get(rsp);
7     mutex.unlock();
8     return rsp;
9 }
```

Figura 7.12. Uma implementação de método de transporte

master para não confundir com a nomenclatura utilizada em barramentos.

Target: Indica o módulo que recebe a transação. Foi evitado o termo *slave* também para não confundir com a nomenclatura utilizada em barramentos.

Put: Indica que a transação está sendo enviada do *initiator* para o *target*. A nomenclatura alternativa aos métodos *write* e *read* foi criada para evitar conflito com as outras implementações de interface já existentes. As interfaces bloqueantes possuem métodos chamados `put` e as não-bloqueantes, `nb_put`.

Get: Indica que a transação está sendo enviada do *target* para o *initiator*. Os demais comentários são similares ao item anterior.

Peek: É um método de uma interface que permite a inspeção do valor a ser lido sem, no entanto, consumi-lo.

Nas próximas subseções será visto como processadores ArchC fazem uso do padrão TLM para comunicação com outros módulos, bem como exemplo de outros módulos com implementação TLM.

7.5.2. A Interface Padrão AC_TLM

A versão 2.0 dos simuladores gerados por ArchC fornece a possibilidade de adicionar-se uma *TLM initiator port bidirecional* para seu processador, permitindo a comunicação com módulos externos. O projetista deve declarar essa nova porta TLM no arquivo de descrição de recursos da arquitetura (veja Seção 7.4.1.1). A Figura 7.13 ilustra essa declaração usando o modelo MIPS descrito anteriormente. Note que essa porta substitui a memória declarada na Figura 7.6, pois a memória agora será um módulo externo ao simulador. Para evitar alterações nos comportamentos das instruções, recomenda-se que uma das portas criadas tenha o mesmo nome dado à memória na descrição sem TLM do processador.

O próximo passo é executar a ferramenta `acsim` para gerar o simulador, que já conterá o código necessário para essa nova porta. Um fator importante

```

1 #include "systemc.h"
2 #include "mips.h"
3 #include "memory.h"
4
5 int sc_main(int argc, char *argv[]) {
6 ...
7     mips MIPS("MIPS");
8     memory ext_memory("MEM");
9     MIPS.DM_port(ext_memory);
10 ...
11     sc_start(); // inicia a execucao
12     return 0;
13 }

```

Figura 7.15. Exemplo de SystemC: Arquivo principal que interliga os dois módulos

tista (*ext_memory*). Enquanto os acessos internos ao processador são feitos através do nome *DM*, os acessos externos são feitos através da porta *TLM DM_port*, que é criada automaticamente pelo *acsim* durante a geração do simulador (o mapeamento da porta é feito na linha 11 da figura). Observe, na linha 2 da figura, que apenas é utilizada uma diretiva `#include` para permitir o uso do simulador gerado por ArchC, que pode ser instanciado como qualquer outro módulo SystemC (veja linha 8). Instanciar um sistema multiprocessado passa, então, a ser tão simples quanto instanciar vários objetos de uma mesma classe, ou de classes diferentes se for desejado um sistema multiprocessado heterogêneo.

Falta agora verificar como deve ser a implementação desse módulo externo para que essa comunicação seja possível. O projetista precisa seguir um protocolo baseado no padrão TLM de SystemC que foi chamado de *ArchC TLM protocol*. O protocolo pode ser resumido como: uma *ac_tlm_port* estende uma *sc_port<ac_tlm_transport_if>*, onde *ac_tlm_transport_if* é o mesmo que *tlm_transport_if<ac_tlm_req, ac_tlm_rsp>*.

Basicamente, isso significa que o projetista somente pode conectar uma *ac_tlm_port* a um módulo que estenda a *ac_tlm_transport_if*, que tecnicamente é um canal, ou a uma *sc_export<ac_tlm_transport_if>* que seja pertencente a um objeto desse tipo. Então, o primeiro requisito é que o módulo externo, responsável pela comunicação com o processador, deve herdar a classe *ac_tlm_transport_if*. Nesse exemplo, isso obrigaria o módulo *ext_memory* a implementar o método:

```

1 ac_tlm_rsp Memory::transport(const ac_tlm_req& req);

```

Esse método é declarado pela *tlm_transport_if<>* e recebe uma referência a um *ArchC TLM transaction request packet*, que é o tipo usado para os pacotes de comunicação pelo protocolo de ArchC para requisições, faz o seu

ver as operações que são realizadas pelo hardware quando uma interrupção é recebida. Note que esse método recebe um valor como parâmetro que pode ser usado na codificação do tratamento. Outra possibilidade é a declaração de mais de uma `ac_tlm_intr_port` em uma descrição, o que faria com que cada um tivesse seu próprio método de tratamento.

Tudo o que o projetista tem que fazer para que seu módulo externo consiga interromper o processador é conectar uma porta de saída de seu módulo à porta de interrupção. Algo como a linha abaixo no arquivo principal de seu projeto:

```
1 ext_module.out_port(MIPS.inta);
```

Note que a porta de interrupção é usada pelo nome declarado na descrição do processador. Essa porta de saída do módulo externo deve ser do tipo `sc_port<ac_tlm_transport_if>`. Essa porta terá um método chamado `transport()`, que será chamado passando-se um pacote do tipo `ac_tlm_req` quando uma interrupção precisar ser gerada. O valor contido no campo de dado desse pacote será o valor que chegará como argumento na chamada do tratador de interrupção.

7.5.3. Exemplo de um Módulo Compatível com AC_TLM

Nesta seção será analisado um exemplo completo de um módulo de memória que pode ser conectado diretamente a um simulador de processador gerado por ArchC 2.0. Escrever dispositivos que falam este protocolo é bem simples, dado que a maior parte do trabalho é feita pela interface de transporte TLM do SystemC.

Como visto anteriormente, existem algumas exigências a serem satisfeitas para que o protocolo de comunicação TLM possa ser utilizado. A Figura 7.18 mostra o arquivo de definição desse módulo (o arquivo `.h`). A memória é bastante simples, basicamente um vetor de bytes alocado dinamicamente com o tamanho declarado no momento da instanciação. Para operar o vetor, a memória usa duas rotinas, `read` e `writem`, ambas publicadas pela classe.

Para implementar a interface de comunicação deve-se incluir uma porta. Nesse caso foi escolhida uma `sc_export` para poder ligá-la diretamente à porta do processador (sem barramentos ou canais). Independentemente do tipo de porta escolhido, esta deverá utilizar a interface fornecida pelo ArchC 2.0, chamada de `ac_tlm_transport_if`.

Pontos importantes a serem observados:

- Note a inclusão da cláusula `using` na linha 4, para poder utilizar o tipo de dados da interface TLM do SystemC no módulo sendo definido;
- A definição da classe `shr_mem` herdando as classes `sc_module` e `ac_tlm_transport_if`;
- A implementação do método de transporte, obrigatório segundo o padrão TLM do SystemC. Ele se encarrega de executar o método correspondente a uma leitura ou escrita de acordo com a informação que chega

```

1 #include <systemc>
2 #include "ac_tlm_protocol.H"
3 using tlm::tlm_transport_if;
4
5 namespace user
6 {
7     // Uma memoria TLM usando a interface TLM do ArchC
8     class shr_mem : public sc_module,
9                   public ac_tlm_transport_if
10    {
11    public:
12        sc_export <ac_tlm_transport_if> target_export;
13        ac_tlm_rsp_status writem(const uint32_t&,
14                                const uint32_t&);
15        ac_tlm_rsp_status readm(const uint32_t&, uint32_t&);
16
17        ac_tlm_rsp transport(const ac_tlm_req &request)
18        {
19            ac_tlm_rsp response;
20
21            switch (request.type) {
22                case READ: // Pacote de READ
23                    response.status = readm(request.addr,
24                                            response.data);
25                    break;
26                case WRITE: // Pacote de WRITE
27                    response.status = writem(request.addr,
28                                            request.data);
29                    break;
30                default:
31                    response.status = ERROR;
32                    break;
33            }
34            return response;
35        }
36        // Construtor
37        shr_mem(sc_module_name module_name, int k = 5242880);
38        // Destrutor
39        ~shr_mem();
40    private:
41        uint8_t *memory;
42    };
43 };

```

Figura 7.18. Definição de um módulo de memória compatível com o protocolo AC_TLM

```

1 int sc_main(int ac, char *av[])
2 {
3     //Instancia Simulador MIPS e memoria
4     mips1 mips1_proc1("mips1");
5     shr_mem mem("mem");
6
7 #ifdef AC_DEBUG //Armazenamento de um trace da simulacao.
8     ac_trace("mips1_proc1.trace");
9 #endif
10
11     //Conecta Processador e Memoria
12     mips1_proc1.DM_port(mem.target_export);
13
14     //Inicializacao do Simulador. Padrao para modelos em ArchC
15     mips1_proc1.init(ac, av);
16     cerr << endl;
17
18     sc_start(-1); //Inicia simulacao
19
20     mips1_proc1.PrintStat();
21     cerr << endl;
22
23 #ifdef AC_DEBUG
24     ac_close_trace();
25 #endif
26
27     return mips1_proc1.ac_exit_status;
28 }

```

Figura 7.20. Instanciação e conexão do módulo de memória ao processador

momento, através do uso da instrução *test-and-set*, separar os dois processadores em dois fluxos diferentes de execução. Após essa separação, cada processador pode executar um código diferente, implementando o comportamento desejado do sistema. Essa é uma implementação próxima da realidade de desenvolvedores de hardware, mas com implementação não tão simples, pois requer suporte a operações atômicas em todos os dispositivos envolvidos.

3. Compilar os programas de cada processador para um espaço de endereçamento diferente e fazer com que os processadores carreguem essa informação diretamente dos arquivos executáveis (ELF). Essa alternativa é plenamente viável, só que nem sempre possível de implementar, como no caso em que o programa esteja armazenado numa memória ROM externa e não exista uma cópia do arquivo com o código executável para iniciar o processador.
4. Forçar, na descrição do sistema, que cada processador só visualize um pedaço da memória global, através do mapeamento dos endereços enviados pelos processadores para posições distintas da memória. Essa

```

1 #include <systemc.h>
2 #include "mips1.H"
3 #include "w_sb.h"
4 #include "loader.h"
5 #include "simple_bus.h"
6 #include "simple_bus_fast_mem.h"
7 #include "simple_bus_arbiter.h"
8
9 int sc_main(int ac, char *av[])
10 {
11     // Bus clock
12     sc_clock bus_clock;
13
14     mips1 mips1_proc1("mips1");
15     mips1 mips1_proc2("mips2");
16     simple_bus bus("bus", false);
17     simple_bus_fast_mem mem_fast("mem_fast", 0x00, 0x9FFFFFF);
18     simple_bus_arbiter arbiter("arbiter");
19     w_sb wrap1("wrapper1", 1, 0x000000, false, 3);
20     w_sb wrap2("wrapper2", 2, 0x500000, false, 3);
21
22     // Bindings
23     bus.clock(bus_clock);
24     bus.arbiter_port(arbiter);
25     bus.slave_port(mem_fast);
26     wrap1.bus_port(bus);
27     wrap2.bus_port(bus);
28     mips1_proc1.DM_port(wrap1.target_export);
29     mips1_proc2.DM_port(wrap2.target_export);
30
31     // Carrega os programas antes de iniciar
32     load_elf(mips1_proc1, mem_fast, "test1", 0x000000);
33     load_elf(mips1_proc2, mem_fast, "test2", 0x500000);
34
35     // Prepara os processadores
36     mips1_proc1.init();
37     mips1_proc2.init();
38
39     sc_start(-1);
40
41     mips1_proc1.PrintStat();
42     mips1_proc2.PrintStat();
43
44     return mips1_proc1.ac_exit_status ||
45           mips1_proc2.ac_exit_status;
46 }

```

Figura 7.22. Arquivo principal do exemplo *multicore* com dois processadores MIPS1, um barramento e uma memória externa

```

1 ac_tlm_rsp w_sb::transport(const ac_tlm_req &request) {
2
3     ac_tlm_rsp response;
4     unsigned int toff;
5     toff = m_address;
6
7     // Area de memoria comum.
8     if ((request.addr >= 0x200000)&&(request.addr<=0x300000))
9         toff = 0x0;
10
11     switch (request.type) {
12     case READ: // Packet is a READ one
13         response.status = readm(request.addr + toff ,
14                                 response.data);
15         break;
16     case WRITE: // Packet is a WRITE
17         response.status = writem(request.addr + toff ,
18                                 request.data);
19         break;
20     default:
21         response.status = ERROR;
22         break;
23     }
24     return response;
25 }

```

Figura 7.24. Implementação do método `transport` dos `wrappers`

mente, com prioridade sobre todas as transações em curso. Não há erro para este tipo de chamada, apenas um valor de retorno binário indicando uma falha (que só acontece em casos em que o endereço solicitado não existe ou na realização de uma escrita em um escravo somente de leitura). Esta interface é muito útil na depuração e monitoramento do barramento, mas é desaconselhada para uso normal.

Há ainda uma quarta interface, que na verdade é um modelo de interface para os escravos. Todos os escravos devem implementá-la, pois o Simple Bus trata todos eles como sendo algum tipo de memória. Esta interface possui funções de leitura, escrita e propriedades, como o endereço inicial e final do mapeamento entre o escravo e o barramento.

7.6.1.2. Árbitro

O Simple Bus possui um árbitro interno conectado ao barramento por uma porta dedicada. Este árbitro é responsável por escolher a transação que será atendida se mais de uma ocorrer no mesmo ciclo. Como todos os mestres são independentes e possuem uma prioridade única, o árbitro utiliza-se da mesma para julgar a ordem das transações.

Há ainda um esquema de requisição em rajadas. Cada transação possui um campo dizendo se aquela é ou não uma transação em rajadas. Se a transa-

lhada do funcionamento deste algoritmo e da divisão em seis passos, que aproveita características da FFT para efetuar a paralelização, pode ser encontrada em [Woo et al. 1994]. Essa é a aplicação escolhida para ser executada no sistema de exemplo.

7.6.2.1. Alocação de processos

O programa FFT foi dividido para que cada processador pudesse ser tratado como uma unidade atômica, executando somente um código, sem compartilhamento de tempo. A presença de diversos processadores caracteriza o multiprocessamento.

Os programas do SPLASH-2 estão estruturados de forma que as rotinas executadas nos processos-filhos se destacam claramente do fluxo de execução principal. O fragmento de código abaixo mostra um código original do programa FFT do SPLASH2 (a partir daqui todos os exemplos terão como base este programa).

```
1 /* fire off P processes */
2 for (i=1; i<P; i++) {
3   CREATE(SlaveStart);
4 }
5 SlaveStart();
```

Neste fragmento destaca-se a estrutura em macros. O código responsável por disparar os diversos fluxos de execução filhos é chamado pela macro `CREATE`, que por si chama uma função definida, a `SlaveStart`. Todo o processamento dos filhos está contido nesta função, o que facilita a divisão entre os processadores.

Nesse caso, o processador-pai segue o fluxo normal de execução do programa, mas não é responsável por disparar outros processadores. Todos os processadores-filhos executam a função `SlaveStart`, mas aguardam até o que o pai chegue ao ponto de disparo dos filhos para iniciar o processamento. Com este dispositivo, temos um comportamento similar à criação de processos-filhos em um sistema baseado em multiprocessos controlados por um SO.

7.6.2.2. Compartilhamento de memória

Como descrito acima, o compartilhamento de memória foi implementado através de um *wrapper* que mapeia a memória através de um *offset*. Os processadores sempre buscam o endereço inicial zero da memória, porém, cada processador possui sua própria instância de *wrapper*, fazendo com que o primeiro processador enxergue como endereço zero realmente o endereço zero da memória, mas o que o segundo processador enxerga como endereço zero é na realidade o endereço 0x500000; veja a Figura 7.23.

Robin. Cada processador recebe uma identificação estática, embutida no código que rodará no mesmo, que é utilizada para definir de quem é o turno atual, resolvendo as condições de disputa.

Com um semáforo deste tipo, pode-se derivar a sincronização como uma espera por uma matriz de semáforos onde todos os processadores devem obrigatoriamente manter o próprio semáforo travado até que a condição de sincronização ocorra. Este método está implementado para dois processadores no nosso sistema e pode ser visualizado no fragmento abaixo.

```
1 MtxLock(t_pid , Global->idlock );
2 if (Global->start.bar_teller==10)
3   Global->start.bar_teller=t_pid ;
4 else
5   Global->start.bar_teller=10;
6 MtxUnLock(t_pid , Global->idlock );
7 while (Global->start.bar_teller!=10);
```

A exclusão mútua é direta, dado que o semáforo de *dekker* é inerentemente um *mutex*.

7.7. Conclusão

O grande crescimento na complexidade dos sistemas dedicados ao longo dos últimos anos, culminando com o recente surgimento das novas arquiteturas multiprocessador, ou *multicore*, trouxe uma série de novos desafios para os projetistas, tanto do ponto de vista de hardware como de software. Um dos pontos principais é a necessidade de uma metodologia de projeto onde ocorra uma forte interação entre as equipes de desenvolvimento de hardware e software, possibilitando seu desenvolvimento simultaneamente. Com isso, ferramentas e linguagens de auxílio ao projeto de sistemas ganham cada vez mais força na indústria e academia.

Este capítulo abordou uma série de problemas, apresentando algumas ferramentas que vêm sendo largamente utilizadas para agilizar e facilitar o trabalho dos projetistas. Dentre elas estão: a linguagem SystemC, cuja principal característica é possibilitar o projeto em nível de sistema, e linguagens de descrição de arquiteturas, que exercem papel fundamental na geração automática de ferramentas de software.

O exemplo de sistema *multicore* pode ser facilmente ampliado colocando-se mais processadores, ou mesmo outros IPs de hardware descritos em SystemC, instanciando-os no arquivo da Figura 7.22 e interligando-os, também, ao barramento. Devido ao esquema de mapeamento de endereços utilizado, basta instanciar novos *wrappers* corretamente parametrizados e aumentar o tamanho da memória global para que o novo sistema passe a funcionar com essa quantidade maior de processadores. Isso demonstra a adaptabilidade do sistema a novos requisitos. Outra característica importante é que o software desenvolvido nesse sistema deve ter características bem similares, senão idênticas, ao que será executado no sistema final. Essa metodologia permite o desenvolvimento adiantado do software de sistema e, conseqüentemente, dos

- [CoreConnect 2000] CoreConnect (2000). *The CoreConnect Bus Architecture*. IBM Corporation, <http://www.chips.ibm.com/products/coreconnect>.
- [DeMicheli 1996] DeMicheli, G. (1996). *Hardware/Software Co-design*, chapter Hardware/Software Co-design: Application Domains and Design Technologies, pages 1–28. Kluwer Academic Publishers.
- [Eric Schnarr and James Larus 1998] Eric Schnarr and James Larus (1998). Fast Out-Of-Order Processor Simulation Using Memoization. In *Eighth International Conference on Architectural Support for Programming Languages and Operating Systems (ASPLOS-VIII)*, San Jose, California.
- [Fauth and Knoll 1993] Fauth, A. and Knoll, A. (1993). Automated generation of DSP program development tools using a machine description formalism. In *Proc. IEEE Int. Conf. Acoustics, Speech, Signal, Minneapolis (Minn., U.S.A.)*, pages 457–460.
- [Fauth et al. 1995] Fauth, A., Praet, J. V., and Freericks, M. (1995). Describing Instruction Set Processors using nML. In *in Proc. European Design and Test Conf., Paris*, pages 503–507.
- [Freericks 1993] Freericks, M. (1993). The nML Machine Description Formalism. Technical report, Technische Universität Berlin, Fachbereich Informatik. Updated and Revised Version 1.5(Draft).
- [Gasjki and Vahid 1995] Gasjki, D. and Vahid, F. (1995). Specification and Design of Embedded Hardware-Software Systems. *IEEE Design and Test of Computers*, pages 53–67.
- [Gill 2005] Gill, E. (2005). Comparison of the performance of microprocessors for space-based navigation applications. Technical report, Space Flight Technology, German Space Operations Center. Version 1.1.
- [Goering 2005] Goering, R. (2005). Tools Missing as ESL Rolls. In <http://www.eet.com/news/latest/showArticle.jhtml?articleID=164900841>.
- [Grun et al. 1999] Grun, P., Halambi, A., Dutt, N., and Nicolau, A. (1999). RT-GEN: An Algorithm for Automatic Generation of Reservation Tables from Architectural Descriptions. In *in Proceedings of International Symposium on System Synthesis (ISSS)*.
- [Gupta et al. 1992] Gupta, R. K., Coelho, C. N., and Micheli, G. D. (1992). Synthesis and Simulation of Digital Systems Containing Interacting Hardware and Software Components. In *Proceedings of the 29th Design Automation Conference*.
- [Hadjiyiannis and Devadas 2002] Hadjiyiannis, G. and Devadas, S. (2002). Techniques for Accurate Performance Evaluation in Architecture Exploration. *IEEE Transactions on VLSI Systems*.

- [Mattsson and Christensson 2006] Mattsson, D. and Christensson, M. (2006). Evaluation of synthesizable cpu cores. Master's thesis, Chalmers University of Technology.
- [McGrath 2005] McGrath, D. (2005). Survey says: ESL Methodologies Can Improve Productivity. In <http://www.eetimes.com/news/design/technology/showArticle.jhtml?article%ID=166403876>.
- [Mishra et al. 2001] Mishra, P., Dutt, N. D., and Nicolau, A. (2001). Functional abstraction driven design space exploration of heterogeneous programmable architectures. In *in Proceedings of International Symposium on System Synthesis (ISSS)*, pages 256–261.
- [OSCI 2005] OSCI (2005). *SystemC Version 2.1 User's Guide*.
- [Qin 2004] Qin, W. (2004). *Modeling and Description of Embedded Processors for the Development of Software Tools*. PhD thesis, Department of Electrical Engineering, Princeton University.
- [Qin and Malik 2003] Qin, W. and Malik, S. (2003). Flexible and formal modeling of microprocessors with application to retargetable simulation. In *Proceedings of Conference on Design, Automation and Test in Europe*, pages 556–561. IEEE Xplore.
- [Qin and Malik 2005] Qin, W. and Malik, S. (2005). A Study of Architecture Description Languages from a Model-based Perspective (invited). In *Proceedings of the 6th International Workshop on Microprocessor Testing and Verification*.
- [Rigo et al. 2004] Rigo, S., Araujo, G., Bartholomeu, M., and Azevedo, R. (2004). ArchC: A SystemC-Based Architecture Description Language. In *Proceedings of the 16th Symposium on Computer Architecture and High Performance Computing*, pages 66–73.
- [Siska 1998] Siska, C. (1998). A processor description language supporting retargetable multi-pipeline dsp program development tools. In *in Proceedings of International Symposium on System Synthesis (ISSS)*.
- [SPARC 1992] SPARC (1992). *The SPARC architecture manual - Version 8*. SPARC International, Inc. Revision SAV080SI9308.
- [Stevens 1999] Stevens, W. R. (1999). *UNIX Network Programming - Interprocess Communication*. Prentice Hall.
- [SystemC TLM Working Group 2005] SystemC TLM Working Group (2005). *SystemC Transaction-level Modeling Standard Version 1.0*. <http://www.systemc.org>.
- [Team 2004] Team, T. A. (2004). *The ArchC Architecture Description Language Reference Manual*. Computer Systems Laboratory (LSC) - Institute of Computing, University of Campinas, <http://www.archc.org>.

